

原位置試験のシミュレーションによる泥岩の強度・変形特性の岩盤安定解析への適用法の検討

電力中央研究所 正員 ○伊藤 千
 同 上 本島 隆
 同 上 正員 林 正夫
 同 上 正員 北原義浩
 同 上 正員 日比野敏

1. まえがき

最近、種々の制約条件による立地選から、重要構造物の基礎岩盤として、比較的軟質な岩盤地床が選ばれる傾向にある。そのため、軟質な岩盤の安定性を検討する際には、基礎岩盤の安定解析に用いる手法の信頼性と岩盤の力学的特性の評価法について、十分な検討を行

う必要がある。本報告は実規模対応の岩盤の安定解析に光立ち、(1)、解析に用いる非線形数値解析法により、まず、小規模の原位置試験のシミュレーションを行ない、その解析方法、解析に用いる物理値及び非線形な変形特性の妥当性の検討、(2)、現実に存在する物理的性質のばらつきが岩盤の耐荷力に及ぼす影響の検討、をしたものであり、以下にその一部を示した。⁽¹⁾⁽²⁾ なお

対象とした岩盤は軟質な泥岩である。

2. 泥岩の強度、変形特性

岩盤の安定性の検討に必要なデータを得るために種々の材料実験が行なわれ、得られた結果を以下のように整理し、解析に導入した。

i). 強度特性；試験坑内でサンプリングした泥岩の高圧三軸、一軸引張試験によると低正圧では側圧の増加とともに強度も増加するが、高圧部では顯著な強度の増加は見られず直打ちの傾向にある(図-1)。従って、泥岩の強度包絡線を低正圧部で(E/E_0)² = 1 + (σ_3/σ_0)²、高正圧部で = $C + M \tan \phi$ の複合曲線で近似した。ここで、 σ_0 : 割離強度、 C : 強度、 M : 内摩擦角である。

ii). 変形特性；三軸圧縮試験結果の応力～ひずみ曲線の勾配から応力状態に応じた接線弾性係数を求め、破壊の包絡線と応力状態を示すモール円との相対的な位置関係をあらわす応力関数 α_{min} と整理した(図-2)。結果は側圧に拘らずくほぼくlinearな傾向を示すので、この関係を図中の太線で代表させ。

$$\left. \begin{aligned} E/E_0 &= R \quad (0 \leq 4R, < 1) \\ E/E_0 &= 1 \quad (4R, \geq 1) \end{aligned} \right\} \text{ここで } R = 4d_{min}/(\frac{\sigma_0 + \sigma_3}{2} - \sigma_0) = 4R_1$$

E : 满期接線弾性係数、 E : 応力状態に応じた変形係数で近似した。また、ボアソン比に依存せし重セル方式の三軸圧縮試験の体積変化から、各応力に応じた値を求めて、応力関数 α_{min} との関係を整理した(図-3)。側圧の大きさによりある

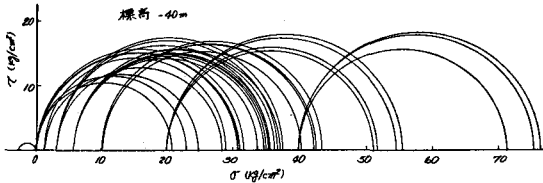


図-1 泥岩破壊時のモールの応力円

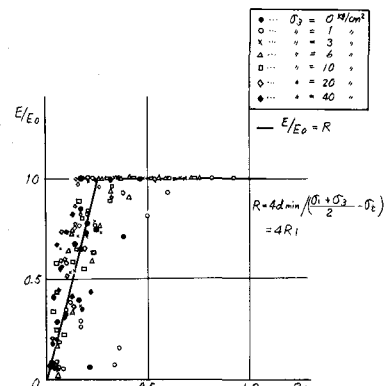


図-2 泥岩の変形係数の非線形性
(三軸圧縮試験 E/E_0 と R の関係)

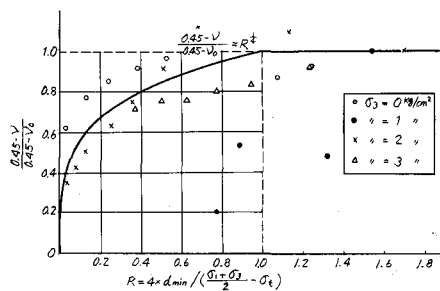


図-3 泥岩の泊アソン比の非線形特性
(三軸圧縮試験による泊アソン比と R の関係)

程度のばらつきはあるが、おのおの指数関数形の傾向を示す。したがって、ボアン比の非線形性は図中の太線で与えるものとし。

$$(0.45-\nu)/(0.45-\nu_0) = \begin{cases} 1 & (R \geq 1) \\ R^{\frac{1}{2}} & (0 \leq R < 1) \end{cases}$$

で近似した。

なお、この泥岩の一軸圧縮強度は平均 26.1 kg/cm^2 、引張強度は平均 2.44 kg/cm^2 、初期変形係数は $3000 \sim 10000 \text{ kg/cm}^2$ 、せん断強度は平均 5.87 kg/cm^2 と、各々の試験から得られていく。

3. 解析方法。

原位置試験を模擬する数值解析は、泥岩地盤の非線形ひずみ特性・破壊条件を考慮し、さらに各直応力に応じた方向による破壊機構の違いを考慮した異方的な降伏特性を導入した三次元および軸対称の有限要素法による逐次解析である。破壊した要素では、破壊現象を考慮しないから、以後の解析ステップで変形係数を初期変形係数の $\frac{1}{1000}$ 、ボアン比を 0.45 とした。

4. 原位置試験の数値シミュレーションの結果と考察。

数値解析の対象とした原位置試験は、 -40 m 管の試験坑内で行なわれたものである。

i). 原位置岩盤せん断試験。

数値解析では、試験坑内の試験箇所の地压の影響、解析モデルのせん断ブロック部・地盤の自重の影響を無視した。なお、解析領域 $2.5 \times 1.35 \text{ m}^2$ の範囲は要素数 288、節点数 311 の有限要素で分割され、特に予想せん断面附近は $2 \times 5 \text{ cm}$ の寸法の細かな要素分割となっている。この解析では、初期せん断強度とその非線形性の変化、強度定数、破壊した要素の剛性の取り扱い、岩盤ブロック部の条件、鉛直荷重かせん断時の変位変化に伴う3點載荷、荷重増分量の影響等を検討し、実験結果とほぼ合致するせん断荷重と変位の関係が導かれる(図-4, 5)ことが確認されるとともに以下の知見が得られた。

(1) 岩盤内の応力の伝達ならびに破壊機構を考慮した主応力の方向による変形係数の異方的変化を導入し、より破壊領域の進展をより厳密に評価するために荷重増分を小さくするなどの結果、手法を改良し、解析結果上の力の配分などがより正確にシミュレートできた。(2) セン断ブロック部の変位の変化は載荷面近傍の泥岩岩盤に発生する応力の伝達のしかたの相違によるよりも、載荷側と反対の背面の接合面から発生するブロック後背部の応力の伝達のしかたにより大きく影響される。さらに、セン断ブロック部と泥岩基盤との接合部周辺の応力の伝達のしかたが変形係数の低下の程度を支配している(図-6)。(3) セン断試験の解析領域とセン断ブロック部・基礎岩盤部共に平面ひずみの条件で解析した場合と、セン断ブロック部を平面応力条件、基礎岩盤部を平面ひずみの条件として解析した場合の両者の解析条件の違いによる影響はあまり大きくなかった。

ii). 原位置支持力試験。

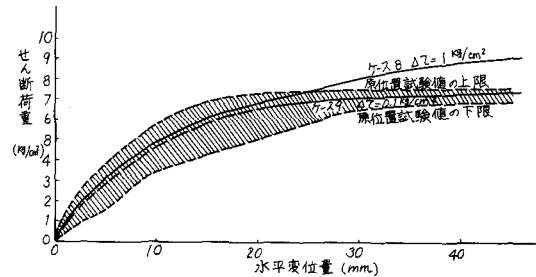


図-4. せん断荷重と水平変位の関係

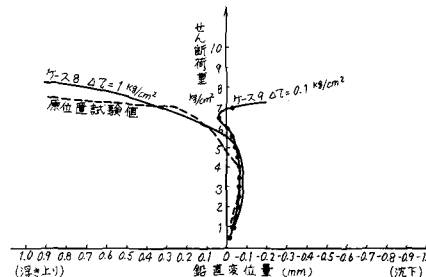


図-5 せん断荷重と鉛直変位の関係

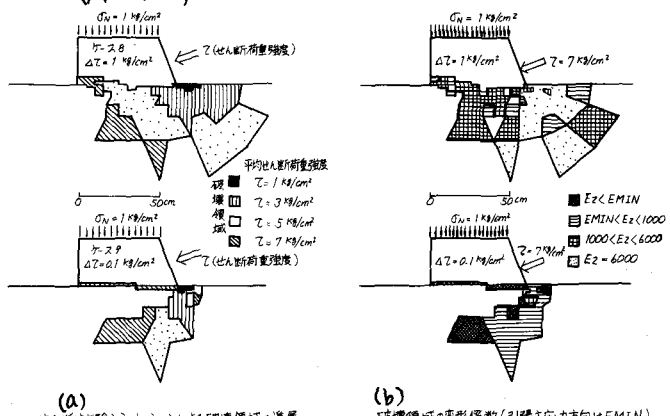


図-6. 破壊領域と変形係数

破壊領域の変形係数(引張主応力方向は EMIN)

試験坑で行なわれた原位置試験より求められた極限軸荷力は55~80 kN/m²の範囲にある。なお、寸法効果が耐荷力に与える影響を調べるために載荷板の直径を30 mmの他に、60 mm, 100 mmと立てて行なったが寸法の違いによる差は認められなかった。数值解析は解析領域 1.2×1.8 m² を要素数295、節点数308 の軸対称有限要素モデルで近似し、載荷板の直径が30 mmの場合について行なった。セン断試験の場合と同様、実測値との対比において、解析条件が結果を大きく左右するため、初期地圧、フリーパス性、密度、変形係数、有限要素形状、荷重増分などの影響を検討し、おおむね合致する荷重と沈下量の関係が得られた。

図-7は横軸結果の一例を示したものである。解析では載荷板が20~30 mmまで弹性挙動、30~50 mmまで塑性挙動をし、55~70 kN/m² 以降で岩盤としての破壊現象が生じ、実測の傾向とほぼ合致している。ただし、どの解析の場合も、各荷重の増分に対し、塑性变形量の大きさが実測値より小さく、しかも破壊現象がやや急激におこっている。なお、慣用のテルツアギーの公式を用いて、極限支持力を求めめてみると、その値は110~170 kN/m²となり、原位置試験結果の耐荷力55~80 kN/m²より大きい値となる。この相違点について、以下のよう考察した。すなわち、テルツアギー公式では、基礎を剛塑性体として、塑性化する領域を対称半径部と仮定している。しかし、実際には載荷板の直下がくさび状態化する範囲(図-8)で変形が大きくなり、耐荷力がそれによって左右されてしまうことか、変形を考慮した解析が明らかとなる。

5. 材料物性のばらつきを考慮した原位置試験のシミュレーション
種々の材料試験から得られる結果において、岩盤の同じ・レトモ・同一場所の岩盤でともあるバラツキをもつ個々の物性値が得られるのが普通である。ここでは、基礎岩盤の定常解析に用いられる物性のバラツキか、地盤の変形挙動、ならびに破壊現象に対して、どの程度影響を与えるのか原位置試験のシミュレーションにより検討した。以下簡単に考え方と結果について述べる。

i). 解析方法との仮定

物性値のバラツキの影響を考慮するにあたっては、最も試験結果の多い一軸圧縮強度のバラツキを求め、その値をバラツキの程度の基準とし、他の物性値もこれに従うものとする。一軸圧縮強度のバラツキの程度は强度との関係で図-9に示ししておき、原位置試験の行なわれた試験坑附近のバラツキの程度は変動係数で約34%である。

ここで、解析の結果に最も影響を与える物性値の強度定数と初期弾性係数を、変動係数が34%の正規分布を仮定した母集団よりランダムに抽出し、原位置試験のシミュレーションモデルの各々の要素に値を与えて、数值解析を始めた。用いた解析モデルは前述のシミュレーション解析のモデルと同じであり、各物性の平均

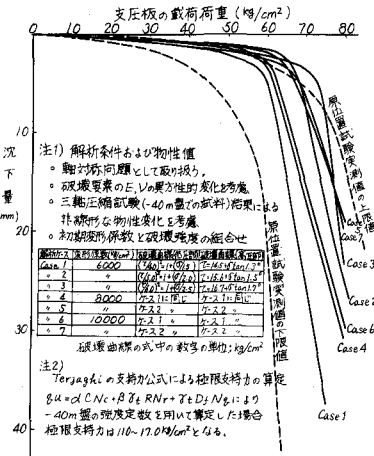


図-7 原位置支持力試験のシミュレーション結果と実測値の比較
(支压板の直径300 mmの場合)
(岩盤条件の与える影響)

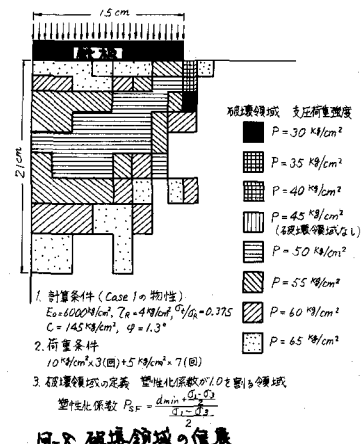


図-8 破壊領域の位置

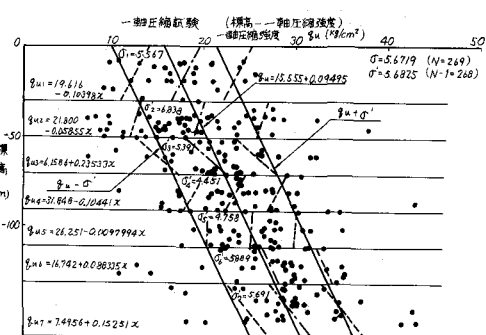


図-9 一軸圧縮強度と標高の関係

均値としては前述の数値解析で最もよくシミュレーションできたものを用いた。なお、解析条件を表-1にまとめて示した。

II. 解析結果と考察

基盤岩に抽出した物性を各要素にばらつかせ、原位置基盤セン断、および支持力試験のシミュレーションを各々30ケース行ない、その結果のバラつきの程度と平均値を求めた。図-10、11はおのおの基盤セン断・支持力試験の数値解析結果を示したものである。これらの結果から、

変位曲線の変化する傾向は似ているが、基盤セン断および支持力試験のシミュレーション各々30ケースの平均変位曲線によれば、各要素に物性を一様に与えた場合よりも解荷力が低く、基盤セン断試験の場合で12%、支持力試験の場合で22%低下くなっている。また、物性を一様に与えた場合とバラつきを考慮した場合の標準偏差から求めた荷重～変位曲線を比較した場合、基盤セン断では前者の方か下限変位強度で約7%，下限変位強度で約15%の解荷力の減少であり、支持力では前者の方か下限荷重強度で約11%，下限荷重強度で約32%の解荷力の減少となる。このように、荷荷力が減少する主な原因是バラッキによって与えられる局所的な弱点が泥岩基盤の解荷力を支配するためと考えられる。したがって、構造物の基礎の安定解析でバラッキの影響を考慮せず、一様に物性を与えた場合にはこの泥岩基盤の場合、1～2割程度、結果を割引いて安定性を評価する必要がある。

6.まとめ

泥岩の小さな供試体の試験から得られた物性に基づいた小規模の原位置基盤セン断および支持力試験のシミュレーション解析の結果は、小規模な原位置テストの実測値とおおむね一致したことにより、変形の非線形性、実質的な弱点などの数値表現まで含めた本報告のかなり概要化を行った解析方法の信頼性が確認されるとともに、実規模のこの泥岩基盤の安定解析に用いるべき基本的物性の評価、実定が行なわれた。また、基礎基盤の物性にはバラッキが避けられないもので、通常、行なわれるような平均的物性値を与えて基礎の解荷力を評価する場合には得られた解荷力を割引って考慮しなければならないことがわかった。

参考文献

- 1). 伊藤、本島、林、北原、日比野；電力中央研究所報告、研究報告、No.377004, 1978年3月
- 2). 本島、北原、日比野、伊藤；電力中央研究所第18回電力土木研究会資料、昭和51年10月
- 3). 日比野；学位論文、1972年7月

表-1 バラッキを考慮した場合の解析条件				
	初期変形係数	せん断強度	粘着力	側厚
平均 値	6000	4.0	14.5	単位 kg/cm ²
変動係数	0.34	0.34	0.34	
(変動係数 = 標準偏差 / 平均値)				

- ・ボルソン比、および内部摩擦角の平均値は0.3、 $\varphi_0 = 1.3^\circ$ とし、全要素で一定とする。
- ・引張強度に同様に、せん断強度に対する比を与え、正規分布に従ったせん断強度の値にこの比を掛けて求めたものを考慮する。
- ・引張強度 = 0.375
- ・セントラル値により標準化された強度値が真の値をもつときは、それを正規分布の平均値の1/100の値を用いる。
- ・セントラル値のモルタル部および土圧鋼板、および支持力試験の支圧鋼板部の要素は一定の物性値を用いる。

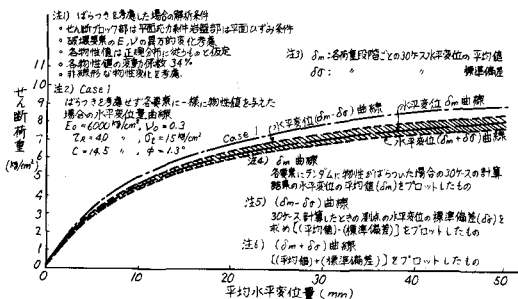


図-10 セン断荷重～水平変位曲線(物性値のはらつきを考慮したシミュレーション結果による。)

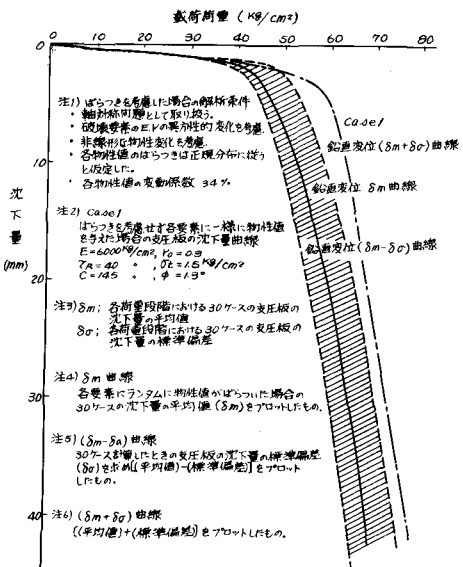


図-11 支圧板試験の荷重～沈下量曲線(物性値のはらつきを考慮した結果)
(支圧板直径 300 mm の場合)

Verification of the Analytical Technique of Stability for the Soft Rock Foundation by
the Numerical Simulation of the Field Test

Hiroshi Ito
Mutsumi Motojima
Masao Hayashi
Yoshihiro Kitahara
Satoshi Hibino

Central Research Institute of
Electric Power Industry

Summary

The purpose of this report, before analysis of stability about the mud stone foundation under actual scale of the power building, is to confirm following points by performing numerical simulations of the shear test and bearing capacity test taken place at the field by means of non-linear numerical analysis;

- (1) Propriety of the numerical method, evaluating values of and appropriating the non-linear numerical expression of material properties for the numerical analysis.
- (2) The influence which the degree of scatter with regard to mechanical properties, in which is in practice to exist, exerts on bearing force of the mud stone foundation.

It is concluded as follows

- (1) Based on the results of mechanical properties in the laboratory test for the sample of mud stone extracted from the field, the results of the numerical analysis simulated the shear test and the bearing capacity test taken place at the field coincide well with the results measured from the field tests.
- (2) From the above-mentioned conclusion, the reliability of analytic method included numerical expressions of the non-linearity of deformation, anisotropic effect and etc. was confirmed. Further, the material values of mud stone being to use the practical scale of the analysis of stability were able to evaluate and to determine.
- (3) Because of the scatter of mechanical properties of rock foundation is avoided, in case that evaluate the bearing force using the mean mechanical values as being usually performed, it is necessary that consider to discount the results obtained.